

FTB27X

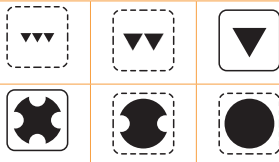
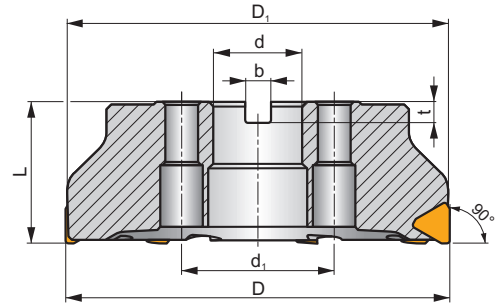
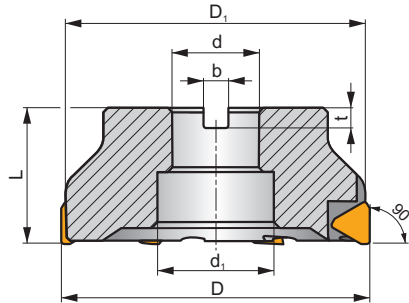
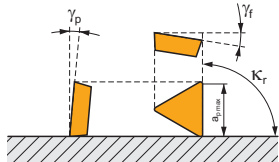


F

ROUGH TB



K_r	90°
a_{pmax}	18,0 mm



h_m 0,15 - 0,38



ISO	D	D ₁	L	d	d ₁	b	t	γ_f	γ_p					kg			
140B05R-F90TB27X	140	135,7	63	40	56,0	16,4	9,0	-9	+9	5	✓	-	-	4,40	GI163	SQ421	AC003
140B07R-F90TB27X	140	135,7	63	40	56,0	16,4	9,0	-9	+9	7	✓	-	-	4,75	GI163	SQ421	AC003
175C06R-F90TB27X	175	169,6	63	40	66,7	16,4	16,4	-9	+9	6	✓	-	-	-	GI163	SQ424	-
175C08R-F90TB27X	175	169,6	63	40	66,7	16,4	16,4	-9	+9	8	✓	-	-	7,59	GI163	SQ424	-
210C08R-F90TB27X	210	204,1	63	60	101,6	25,7	25,7	-9	+9	8	✓	-	-	0,01	GI163	SQ425	-
210C10R-F90TB27X	210	204,1	63	60	101,6	25,7	25,7	-9	+9	10	✓	-	-	10,80	GI163	SQ425	-
260C10R-F90TB27X	260	253,4	63	60	101,6	25,7	25,7	-9	+9	10	✓	-	-	-	GI163	SQ425	-
260C12R-F90TB27X	260	253,4	63	60	101,6	25,7	25,7	-9	+9	12	✓	-	-	18,21	GI163	SQ425	-



GI163



TBMR 2707PZ..



SQ421

LNK 220616

US 6013-T20P

SDR T20P-T

KU TBMR 2707

DS 01Z

KL 04

-

SQ424

LNK 220616

US 6013-T20P

SDR T20P-T

KU TBMR 2707

DS 01Z

KL 04

HS 1240

SQ425

LNK 220616

US 6013-T20P

SDR T20P-T

KU TBMR 2707

DS 01Z

KL 04

HS 1655



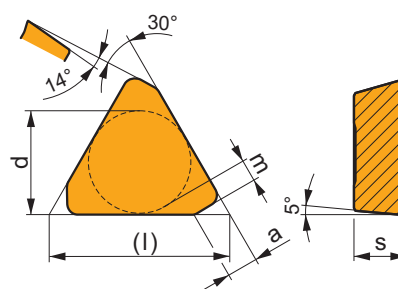
AC003

KS 2040

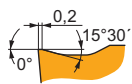
K.FMH40

TBMR 27

	a	d	l	m	s
2707	4,61	15,875	27,50	3,2	7,94



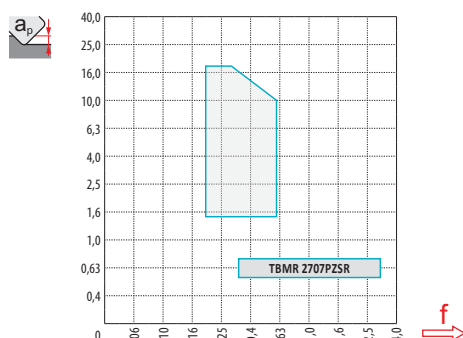
i	ISO		P	M	K	N	S	H	?		r_c	f_{min}	f_{max}	$a_{p min}$	$a_{p max}$
1	TBMR 2707PZSR	M5326	■	□	■				●	---	-	0,20	0,45	1,5	18,0
U		M8326	■	□	□				●	-	-	0,20	0,60	1,5	18,0
S		M8346	■	□	□				●	+/-	-	0,20	0,60	1,5	18,0



ISO	f_{min}	f_{max}	M5326	M8326	M8346	
P	●	0,25	0,50	340	232	200
	●	0,25	0,40	312	208	176
	✘	0,25	0,30	280	184	156
M	●	0,25	0,50	-	140	120
	●	0,25	0,40	-	124	104
	✘	0,25	0,30	-	112	92
K	●	0,25	0,50	324	220	-
	●	0,25	0,40	296	200	-
	✘	0,25	0,30	268	176	-

a_p/D	0,05	0,10	0,15	0,20	0,25	0,30	0,40	0,50	0,60	0,70	0,75	0,80	0,90	1,00
X.V	1,48	1,35	1,27	1,22	1,19	1,16	1,11	1,08	1,05	1,03	1,02	1,01	0,99	0,98
X.f	2,87	2,05	1,69	1,48	1,33	1,23	1,09	0,75	0,94	0,90	0,89	0,88	0,88	1,00
X.f	0,64	0,64	0,64	0,64	0,64	0,65	0,65	0,67	0,68	0,71	0,72	0,74	0,79	1,00

TBMR 27	
r_c	-
a	2,70



a_p	1,5	8,0	18,0
1	0,60	0,39	0,24